

Estudo do poder calorífico de biomassa agrícola e florestal carbonizado pelo processo de pirólise

Projeto n.º 34001

Ibero Massa Florestal, Lda



Outubro 2014



















ÍNDICE

| INDICE DE FIGURAS | 4 |
|---|----|
| ÍNDICE DE QUADROS | 6 |
| INTRODUÇÃO | 7 |
| CONVERSÃO DE BIOMASSA | 8 |
| 2.1 Processos de Conversão | 9 |
| 2.2 Pirólise | 10 |
| CARACTERIZAÇÃO DA BIOMASSA AGRÍCOLA E FLORESTAL | 12 |
| 3.1 Biomassa Agrícola | 12 |
| 3.2 Biomassa Florestal | 14 |
| ENSAIOS | 19 |
| 4.1 – Método | 19 |
| 4.2 – Descrição das Amostras | 20 |
| 4.2.1 – Biomassa Agrícola | 20 |
| 4.2.2 - Biomassa Florestal | 22 |
| RESULTADOS | 27 |
| 5.1 – Carbonização de Biomassa Agrícola | 27 |
| 5 1 1 – Carhonização Vide | 27 |













| BIBLIOGRAFIA 4 | 49 |
|--|----|
| CONCLUSÃO | 46 |
| 5.2.4 – Carbonização de Azinho | 43 |
| 5.2.4 – Carbonização de Acácia | 40 |
| 5.2.3 – Carbonização de Eucalipto | 38 |
| 5.2.2 – Carbonização de Pinho | 35 |
| 5.2.1 – Carbonização de Sobro | 32 |
| 5.2 – Carbonização de Biomassa Florestal | 32 |
| 5.1.2 – Carbonização poda de Kiwi | 29 |













ÍNDICE DE FIGURAS

| Figura 1 — Caracterização do consumo de energia primária em Portugal no ano de 2012 [1] | |
|---|------|
| Figura 2 – Processos de conversão de biomassa | . 10 |
| Figura 3 – Produtos resultantes do processo de Pirólise | . 10 |
| Figura 4 – Peso das podas resultantes da poda de videira, oliveira; pereira; macieira; | |
| castanheiro e Kiwi no total considerado | . 13 |
| Figura 5 – Ocupação de Área por espécie Florestal [7] | . 14 |
| Figura 6 – Podas de Videira | . 20 |
| Figura 7 – Poda de Kiwi | . 22 |
| Figura 8 – Imagem amostra de eucalipto. | . 23 |
| Figura 9 – Imagem de sobro | |
| Figura 10 – Imagem da amostra de Azinho utilizado nos ensaios | . 25 |
| Figura 11 – Imagem de amostra de acácia utilizada nos ensaios | |
| Figura 12 – Imagem vide carbonizada | . 27 |
| Figura 13 – Registo de temperaturas obtidas na Câmara de Combustão, na Exaustão, Câmara | а |
| de Pirólise e Gases da Pirólise no processo de carbonização de vide | . 28 |
| Figura 14 – Registo de pressões obtidas Câmara de Pirólise no processo de carbonização de | |
| vide | . 29 |
| Figura 15 – Imagem poda de kiwi carbonizada | . 30 |
| Figura 16 – Registo de temperaturas obtidas na Câmara de Combustão, na Exaustão, Câmara | а |
| de Pirólise e Gases da Pirólise no processo de carbonização de poda de kiwi | . 31 |
| Figura 17 – Registo de pressões obtidas Câmara de Pirólise no processo de carbonização de | |
| poda de kiwi | . 32 |
| Figura 18 – Imagem de sobra carbonizado. | . 33 |
| Figura 19 – Registo de temperaturas obtidas na Câmara de Combustão, na Exaustão, Câmara | а |
| de Pirólise e Gases da Pirólise no processo de carbonização de sobro | . 34 |
| Figura 20 – Registo de pressões obtidas Câmara de Pirólise no processo de carbonização de | |
| sobro | . 35 |
| Figura 21 – Imagem de pinho carbonizado. | . 36 |
| Figura 22 – Registo de temperaturas obtidas na Câmara de Combustão, na Exaustão, Câmara | а |
| de Pirólise e Gases da Pirólise no processo de carbonização de pinho | . 36 |
| Figura 23 – Registo de pressões obtidas Câmara de Pirólise no processo de carbonização de | |
| pinho | . 37 |
| Figura 24 – Registo de temperaturas obtidas na Câmara de Combustão, na Exaustão, Câmara | а |
| de Pirólise e Gases da Pirólise no processo de carbonização de eucalipto | . 39 |
| Figura 25 – Registo de pressões obtidas Câmara de Pirólise no processo de carbonização de | |
| eucalipto | . 40 |
| Figura 26 – Registo de temperaturas obtidas na Câmara de Combustão, na Exaustão, Câmara | а |
| de Pirólise e Gases da Pirólise no processo de carbonização de acácia | . 41 |
| Figura 27 – Registo de pressões obtidas Câmara de Pirólise no processo de carbonização de | |
| acácia | . 42 |
| Figura 28 – Imagem de azinho carbonizado | . 43 |













| Figura 29 – Registo de temperaturas obtidas na Câmara de Combustão, na Exaustão, Câmara | 7 |
|---|------|
| de Pirólise e Gases da Pirólise no processo de carbonização de azinho | 44 |
| Figura 30 – Registo de pressões obtidas Câmara de Pirólise no processo de carbonização de | |
| azinho | . 44 |













ÍNDICE DE QUADROS

| Tabela 1 — Quantificação de quantidade media produzidas por podas de culturas perma | nentes |
|---|--------|
| [6] | 13 |
| Tabela 2 – Área de espécies florestais, em mil ha [7] | 15 |
| Tabela 3 — Resíduos anuais produzidos por unidade [8] | 16 |
| Tabela 4 – Resíduos florestais anuais produzidos por espécie | 17 |
| Tabela 5 — Resíduos florestais secos produzidos por zona | 18 |
| Tabela 6 – Análise Poda de Videira | 21 |
| Tabela 7 – Características Eucalipto | 23 |
| Tabela 8 – Resultados da análise do carvão de vide | 29 |
| Tabela 9 — Resultados da análise do carvão de poda de Kiwi | 32 |
| Tabela 10 – Resultados da análise do carvão de sobro | 35 |
| Tabela 11 – Resultados da análise do carvão de pinho | 38 |
| Tabela 12 – Resultados da análise do carvão de acácia | 42 |
| Tabela 13 – Resultados da análise do carvão de azinho | 45 |
| Tabela 14 – Resumo valores obtidos nas várias análises para as várias amostras | 46 |













INTRODUÇÃO

O presente estudo foi elaborado com o objectivo de caracterizar ao nível do poder calorifico o produto obtido pela carbonização de biomassa agrícola, proveniente de podas, especificamente de podas: de videira e kiwi; assim como de biomassa florestal, nomeadamente: eucalipto, pinheiro, sobreiro, azinho e acácia, que representam 75% da área florestal nacional.

No primeiro capítulo serão apresentados os processos existentes de valorização energética da biomassa florestal e agrícola, descrevendo de forma pormenorizada o processo de pirólise a ser utilizado no presente estudo.

O segundo capítulo visa elaborar a caracterização da matéria-prima a ser utilizada, distinguindo entre a biomassa agrícola, resíduos provenientes da poda, e biomassa florestal. Será ainda elaborada uma pequena análise do potencial disponível para valorização energética dos produtos identificados.

No terceiro capítulo será definido a metodologia de ensaios a aplicar, assim como descrição dos equipamentos e do processo. O quarto capítulo visa apresentar os resultados obtidos pelos ensaios descritos no capítulo três.

As conclusões obtidas pela análise do capítulo quatro, serão apresentadas no capítulo cinco. O sexto, e último, capítulo apresenta a bibliografia consultada para a elaboração do presente trabalho.













CONVERSÃO DE BIOMASSA

A utilização da biomassa como fonte de energia tem vindo a ser fundamental para o desenvolvimento da civilização. Nos tempos recentes, as pressões relacionadas com o ambiente, assim como a sustentabilidade dos recursos fósseis, têm vindo a gerar um interesse crescente na utilização de energia de fontes renováveis.

A situação energética do Pais é marcada pela sua elevada dependência de fontes de energia como o petróleo, o gás natural e o carvão. Em 2012 estas três formas de energia representaram no consumo de energia primária de cerca de 75.87% do consumo total de energia primária [1].

Consumo de Energia Primária 2012 (ktep)

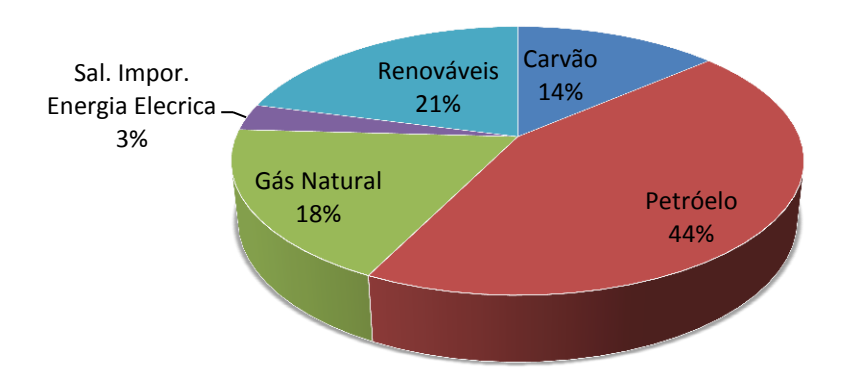


Figura 1 – Caracterização do consumo de energia primária em Portugal no ano de 2012 [1].

Surge assim um problema de segurança do abastecimento e de independência energética, estando o país sujeito à volatilidade do preço do petróleo e também do gás natural e do carvão, embora em menor escala. Esta é uma das mais importantes razões para que hoje a maioria dos países esteja a apostar nas energias renováveis e na













eficiência energética.

Existe também a razão ambiental, visto que o elevado consumo de recursos energéticos de origem fóssil está a conduzir a um aumento artificial do efeito de estufa, pelo que é imperativo apostar num abastecimento de energia sustentável que não prejudique o meio ambiente, exigindo a introdução e divulgação de energias renováveis.

A necessidade de encontrar alternativas viáveis para o consumo de energia produzida a partir de combustíveis fósseis, bem como a necessidade de independência energética, leva um interesse crescente na produção de energia através de biomassa.

2.1 Processos de Conversão

A conversão de biomassa em energia pode ser realizada através de diferentes processos, sendo que os factores que influenciam a escolha do processo são o tipo e quantidade de biomassa, a utilização final da energia, entre outros. A utilização final da energia tem tendência a ser o factor determinante na escolha do processo a utilizar [2].

Os processos de conversão de biomassa podem ser divididos em quatro categorias básicas: Combustão directa; Processos termoquímicos; Processos bioquímicos e Processos agroquímicos [3].













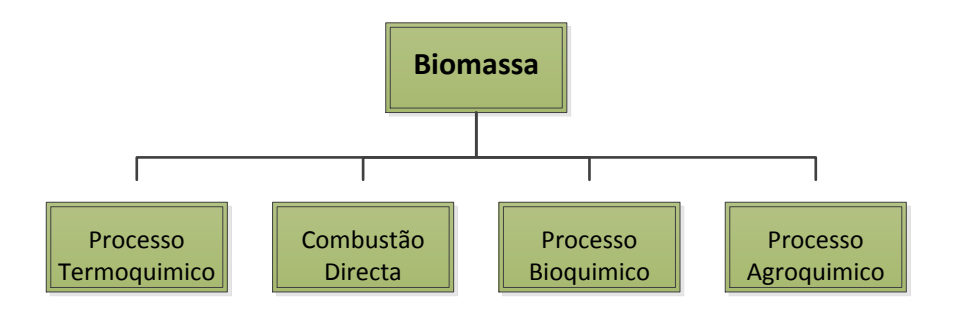


Figura 2 – Processos de conversão de biomassa.

2.2 Pirólise

Os processos termoquímicos, onde se inclui o processo de pirólise, permitem uma séria de formas de valorização da biomassa. A pirólise é definida como a degradação térmica de material orgânico na ausência de oxigénio.

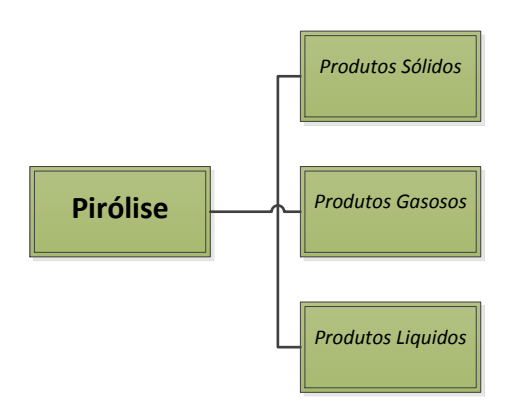


Figura 3 – Produtos resultantes do processo de Pirólise.

Os produtos formados pelo processo de Pirólise são produzidos em proporções diferentes, em função dos parâmetros utilizados, como a temperatura final do processo, a pressão de operação, e as propriedades iniciais da biomassa. O objectivo do processo de pirólise é o de obter um produto com densidade energética superior ao da biomassa inicial [4].













A carbonização (pirólise) da biomassa com vista à produção de carvão vegetal é desenvolvida a temperaturas médias de 300ºC, sendo que a biomassa é queimada com baixo teor de oxigénio o que impede a combustão completa, sendo obtido o carvão vegetal que possui em média o dobro da densidade energética da biomassa inicial.













CARACTERIZAÇÃO DA BIOMASSA AGRÍCOLA E FLORESTAL

3.1 Biomassa Agrícola

Cerca de 34% da superfície total de Portugal é ocupada pela Agricultura, sendo que esta ocupação é mais expressiva no Alentejo e no Norte, onde corresponde a 41% e 21% da área ocupada respectivamente.

A agricultura nacional é maioritariamente direccionada para o cultivo de cereais, nas culturas temporárias, e para o olival e a vinha nas culturas permanentes [5].

Entende-se como biomassa agrícola, os resíduos provenientes de actividades agrícolas, sem utilização posterior na própria exploração. Assim, estão incluídas nesta definição as palhas dos cereais, os caules do girassol e do milho, as partes aéreas das principais plantas herbáceas e os ramos das podas das árvores.

As podas são uma operação necessária para a manutenção das próprias culturas. Em Portugal são produzidas aproximadamente 7 milhões de toneladas de biomassa residual agrícola de culturas permanentes [6], passiveis de serem utilizadas para produção de energia. Na tabela 1 apresentamos a quantificação média de biomassa residual agrícola no que se refere apenas aos ramos das podas das árvores.













Tabela 1 – Quantificação de quantidade média produzidas por podas de culturas permanentes [6].

| Culturas | Podas Produzidas (ton) |
|--------------|---------------------------|
| Ameixoeira | 19 568 |
| Amendoeira | 11 806 |
| Castanheiro | 21 646 |
| Cerejeiro | 9 199 |
| Figueira | 7 145 |
| Kiwi | 12 240 |
| Citrinos | 271 496 |
| Macieira | 243 262 |
| Nogueira | 4 103 |
| Pereira | 140 162 |
| Pessegueiro | 52 856 |
| Frutos secos | 37 976 |
| Olival | 201 505 |
| Vinha | 153 020 |
| Total | 1 185 984 |

No presente trabalho apenas serão consideradas as podas resultantes das seguintes culturas: videira e Kiwi, apresentadas na figura 4 no total de podas produzidas.

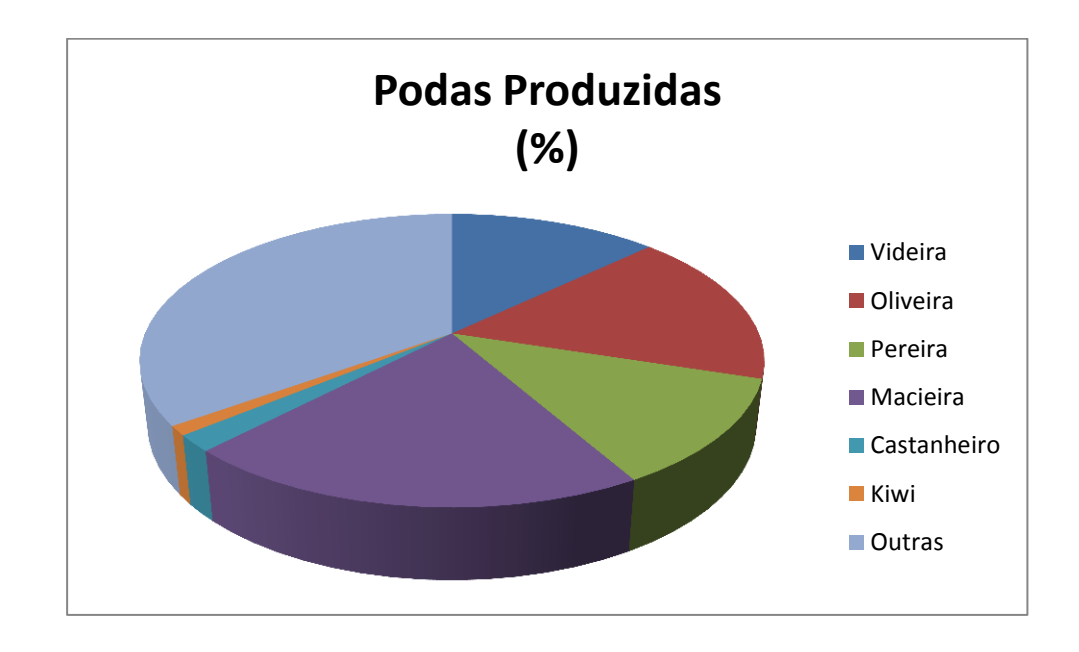


Figura 4 – Peso das podas resultantes da poda de videira, oliveira; pereira; macieira; castanheiro e Kiwi no total considerado.













3.2 Biomassa Florestal

Floresta portuguesa cobre cerca de 38% do território [7]. Esse valor demonstra claramente o potencial de biomassa florestal em Portugal. Contudo a área florestal tem sofrido reduções ao longo dos anos, devido aos inúmeros incêndios. A limpeza das matas é um factor de prevenção contra incêndios e o produto obtido possui características de elevado interesse energético.

O pinheiro bravo, o sobreiro, o eucalipto e a azinheira são as quatro principais espécies, ocupando cerca de 83% da área de floresta portuguesa com base em dados de 2006 (Figura 19).

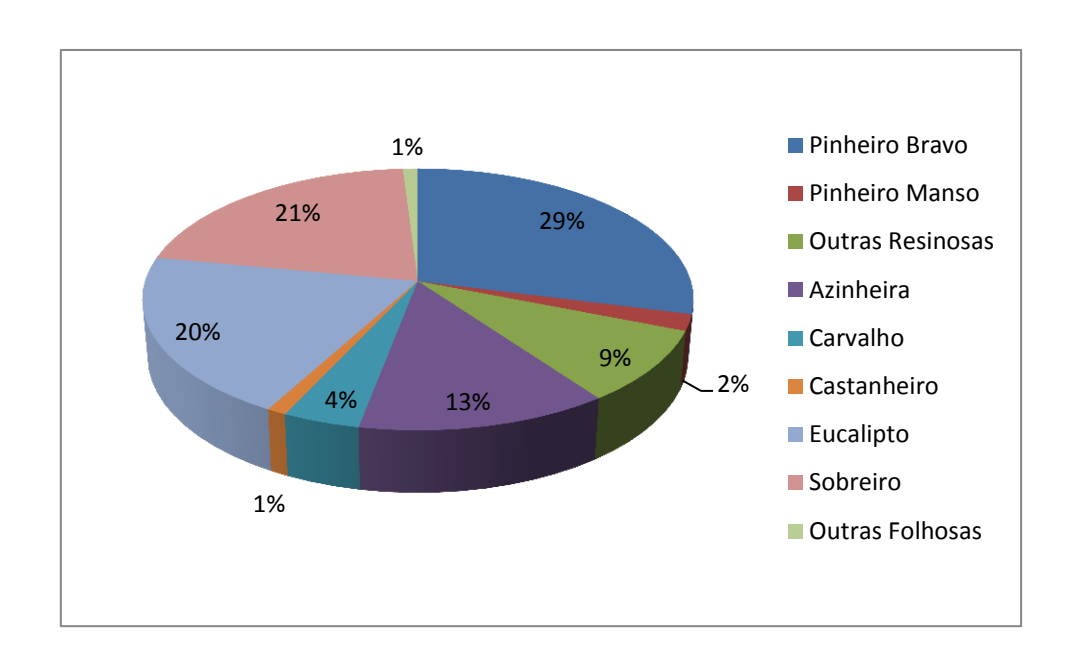


Figura 5 – Ocupação de Área por espécie Florestal [7].

Na última década têm sido apresentadas diversas estimativas para o potencial de biomassa existente no país, valores que nem sempre são convenientemente identificados de acordo com a sua representatividade face ao universo da biomassa













florestal.

Na tabela que se segue encontra-se, descriminada, a área ocupada por espécie florestal por região.

Tabela 2 – Área de espécies florestais, em mil ha [7].

| | Pinheiro | Eucalipto | Sobreiro | Azinheira | Outras folhosas | Outras resinosas | Total |
|--------------------------|----------|-----------|----------|-----------|--------------------|---------------------|-------|
| Norte | 246 | 143 | 21 | 20 | 152 | 21 | 604 |
| Centro | 571 | 227 | 28 | 32 | 86 | 4 | 948 |
| Lisboa e Vale do Tejo | 110 | 143 | 140 | 3 | 19 | 1 | 416 |
| Alentejo | 112 | 131 | 484 | 398 | 11 | 0,3 | 1136 |
| Algarve | 15 | 29 | 40 | 9 | 6 | 0 | 98 |
| Total | 1054 | 672 | 713 | 462 | 274 | 27 | 3202 |

A biomassa florestal é classificada como a fracção biodegradável dos produtos e dos desperdícios de actividade florestal, incluindo operações de condução: desbaste e desrama; ou da exploração dos povoamentos florestais: ramos, bicadas, cepos, folhas, raízes e cascas (Tabela 26).













Tabela 3 – Resíduos anuais produzidos por unidade [8].

| Espécies Flores- | Resíduos Anuais | | | | | |
|------------------|--------------------------------|-----------------------|--|--|--|--|
| tais | (kg _{verdes} /arvore) | $(kg_{secos}/arvore)$ | | | | |
| Pinheiro | 1,4 | 0,6 | | | | |
| Eucalipto | 2,3 | 1,1 | | | | |
| Azinheira | 3,3 | 1,4 | | | | |
| Sobreiro | 3,3 | 1,4 | | | | |

A estimativa de resíduos florestais anuais é calculada com base nos valores de densidade florestal para os diferentes povoamentos [7], de acordo com os valores da Tabela 3, e a área ocupada por cada espécie (Tabela 2).













Tabela 4 – Resíduos florestais anuais produzidos por espécie

| Espécies Flores- | Densidade | Base | | | | | |
|------------------|--------------|------------------------------|-----------|--|--|--|--|
| tais | (espécie/ha) | Resíduos verdes Resíduos Sec | | | | | |
| | | (ton/ano) | (ton/ano) | | | | |
| Pinheiro | 412 | 607.947 | 260.549 | | | | |
| Eucaliptos | 545 | 843.606 | 403.464 | | | | |
| Azinheira | 41 | 62.509 | 26.519 | | | | |
| Sobreiro | 83 | 195.291 | 82.851 | | | | |

A produção estimada de resíduos florestais é de 1.709 milhões de toneladas de resíduos verdes por ano, ou seja 773 milhões de toneladas de resíduos secos por ano. Os resultados obtidos mostram que a produção de resíduos deve-se essencialmente á exploração do pinheiro e de eucalipto, sendo de salientar a zona centro como aquela que apresenta um maior potencial (Tabela 5).













Tabela 5 – Resíduos florestais secos produzidos por zona.

| Zona | Resíduos secos |
|-----------------------|----------------|
| | (ton) |
| Norte | 150.128 |
| Centro | 282.328 |
| Lisboa e Vale do Tejo | 129.361 |
| Alentejo | 185.307 |
| Algarve | 26.258 |
| Total | 773.382 |
| | |













ENSAIOS

4.1 – Método

O processo utilizado nos resultados apresentados no presente trabalho foi o de pirolise lenta. A conversão térmica com ruptura das ligações de carbono (pirólise lenta) é um processo de oxidação-redução no qual parte do produto inicial é transformado em carbono, a temperaturas entre os 450 e 500 °C. Neste processo os resíduos lignocelulósicos sofrem alterações físicas e químicas irreversíveis dando origem à obtenção final de biocarvão. Podemos dizer, duma forma geral, que o processo de pirólise lenta passa por etapas diferentes com a libertação de CO, CO₂ e vapor de água e líquidos tais como o alcatrão e o ácido acético.

Especificando, o processo de pirólise lenta pode ser dividido em quatro etapas:

- Abaixo de 200º de temperatura: é a etapa da secagem da madeira dando-se a evaporação e eliminação de água entre 110-200º C.
- De 200° a 280° C: é a etapa das reações endotérmicas. Quando a temperatura atinge cerca de 260°, a madeira passa a ser quimicamente degradada e os materiais voláteis (ácido acético, metanol, água, CO₂ e outros) começam a ser evaporizados.
- De 280 a 500°C: é a etapa das reações exotérmicas. Nesta fase, parte da biomassa é carbonizada e ocorre a libertação dos gases combustíveis
 (CO, CH₄ e outros) bem como a maioria do alcatrão solúvel e do ácido pirolenhoso.













 Acima de 500°C: ocorre a libertação de pequenas quantidades de voláteis em especial H₂, considerado aqui o fim da pirólise lenta e o início do arrefecimento do reator.

Convém ressalvar que durante este processo de pirólise lenta estas etapas podem ocorrer em simultâneo. As características do reator onde é feita a pirólise lenta permite queimarem no seu forno todos os gases combustíveis e materiais voláteis.

Deste modo, o calor libertado na queima dos gases da pirólise assegura a autosustentabilidade do processo que se desenrola até o material atingir os 500°C garantindo, deste modo que apenas existe biocarvão na câmara de pirólise.

4.2 - Descrição das Amostras

4.2.1 - Biomassa Agrícola

A biomassa agrícola em estudo no presente trabalho são as podas de videira e podas de kiwi.



Figura 6 – Podas de Videira.













As podas de videira utilizadas, recolhidas na zona do Douro (imagem 6), apresentaram uma densidade de 160 kg/m³, e um PCI de 17.794 KJ/kg (tabela 6).

Tabela 6 – Análise Poda de Videira.

| Produto | Densidade (kg/m3) | PCI (KJ/Kg) | | |
|-----------------|----------------------|----------------|--|--|
| Poda de Videira | 150.128 | 17.794 | | |

As podas de kiwi foram recolhidas na região de Trás-os-Montes e Alto Douro. As podas no kiwi são realizadas uma vez por ano, entre os meses de Dezembro e Fevereiro. O objectivo da poda é obter uma boa frutificação, permitindo o arejamento a polinização e a luminosidade da copa.















Figura 7 – Poda de Kiwi.

4.2.2 - Biomassa Florestal

A biomassa florestal em estudo no presente trabalho são as podas de eucalipto, pinheiro, sobreiro, azinho e acácia.

O eucalipto, Eucalyptus globulus, é uma angiospérmica dicotiledónea, também identificada como folhosa. Pertence à ordem das Mirtale, família das Mirtáceas, género Eucalyptus, sendo a espécie Eucalyptus globulus a mais comum e economicamente importante em Portugal. Existem em todo o mundo cerca de 600 espécies diferentes de eucalipto. Esta que predomina em Portugal é originária da Tasmânia e Austrália.













Na figura que se segue pode observar-se a imagem da amostra considerada.



Figura 8 – Imagem amostra de eucalipto.

Das análises efectuadas à amostra, e resumidas na tabela que se segue, destacam-se o PCI de 20.226 KJ/kg.

Tabela 7 – Características Eucalipto.

| Tipo | Humidade verde (%) | Diâmetro médio (mm) | Dens d (kg/ | е | PCI (kJ/kg) | Análise Elementar (%) Holocelulose (%) | | Lignina (%) | Cinzas (%) | | | | |
|-----------|-----------------------|---------------------------|-------------------|-----|-------------|--|-------|----------------|---------------|------|----|----|-----|
| | | , , | , 0, | ĺ | | н | С | 0 | N | S | | | |
| Eucalipto | 54% | 200 | 858 | 516 | 20 226 | 7,50 | 47,00 | 42,00 | 1,97 | 0,13 | 60 | 30 | 0,5 |













O pinheiro, pertencente à família *Pinophyta*, tradicionalmente incluída no grupo das gimnospérmicas, é uma árvore de elevado porte, podendo atingir os 30 – 40m de altura. O tronco apresenta uma casca espessa, profundamente fissurada. As folhas são agulhas, emparelhadas, de cor verde-escura, com 10-25 cm, rígidas e grossas.

O **sobreiro**, uma das árvores florestais mais abundantes em Portugal, é caracterizado pelo elevado desenvolvimento que pode atingir o tronco e ramos (imagem 9). O sobro apresenta uma densidade de 800 kg/m3.



Figura 9 – Imagem de sobro.













As **azinheiras**, *Quercus ilex*, medem até 10 metros de altura. São incluídas na família das fagáceas. As suas folhas são ligeiramente espinhosas. Na figura que se segue pode-se observar uma imagem da amostra considerada. O azinho apresenta uma densidade de 800 kg/m3, e um PCI de 14 mil KJ/kg.



Figura 10 – Imagem da amostra de Azinho utilizado nos ensaios.













A **Acácia**, uma das espécies infestantes mais agressivas actualmente identificadas, sendo original das florestas tropicais do Sudeste da Austrália e da Tasmânia, actualmente existe em quase toda a Europa. A acácia apresenta um PCI médio de aproximadamente 18.930 KJ/kg. Na figura que se segue pode observar-se uma imagem da amostra considerada.



Figura 11 – Imagem de amostra de acácia utilizada nos ensaios.













RESULTADOS

5.1 - Carbonização de Biomassa Agrícola

5.1.1 – Carbonização Vide

Para o ensaio de carbonização das podas resultantes das videiras (vides) foi utilizado um peso de matéria inicial de 8.750 kg. A produção de carvão obtida foi de 2.65 kg, correspondendo a uma conversão de 30% (figura 12).



Figura 12 – Imagem vide carbonizada.

O processo de carbonização, nas suas etapas, demorou aproximadamente sete horas, tendo sido iniciado às 13:13 horas e terminou às 19.15 horas. A fase I e a fase II tiveram uma duração de três horas, e a fase III de uma hora.













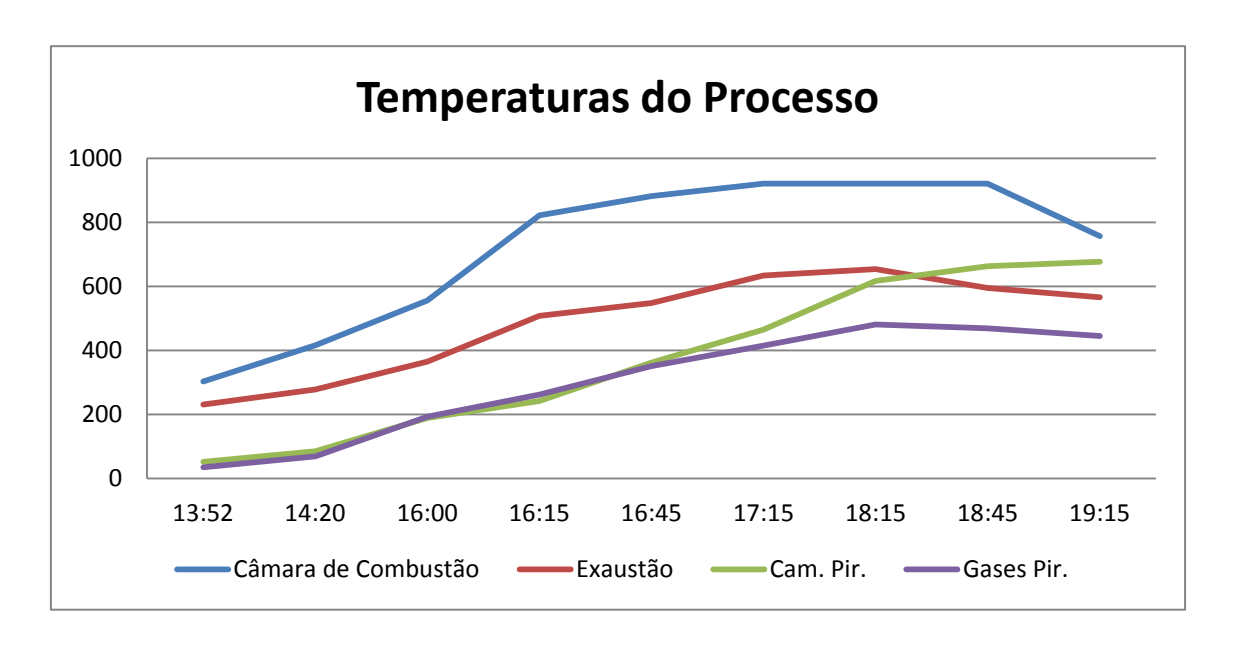


Figura 13 – Registo de temperaturas obtidas na Câmara de Combustão, na Exaustão, Câmara de Pirólise e Gases da Pirólise no processo de carbonização de vide.

O primeiro registo de temperatura na câmara de combustão, às 13:52 horas, 39 minutos após o início do processo, foi de 303 °C. O valor máximo de temperatura foi de 921 °C tendo-se registado às 17:15 h, uma hora após o início da Fase II (figura 13), e tendo-se mantido constante na leitura das 18:15 e 18:45 horas.

A temperatura na exaustão atingiu um máximo de 634 °C às 17:45 horas (Fase II) sendo que no registo de início da fase II (16:00 horas) registava 365 °C. No início da fase III a temperatura de exaustão registou um valor de 566 °C.

O primeiro registo de temperatura na câmara de pirolise indicou 52 °C (13:52 horas). A temperatura máxima foi de 677 °C registada no início da fase III (19:15 horas).

A temperatura dos gases de pirólise atingiu os 481 °C no registo das 18:15 horas. O registo inicial de temperatura foi de 35 °C ás 13:52 horas, e no fim da fase III registava 445 °C.













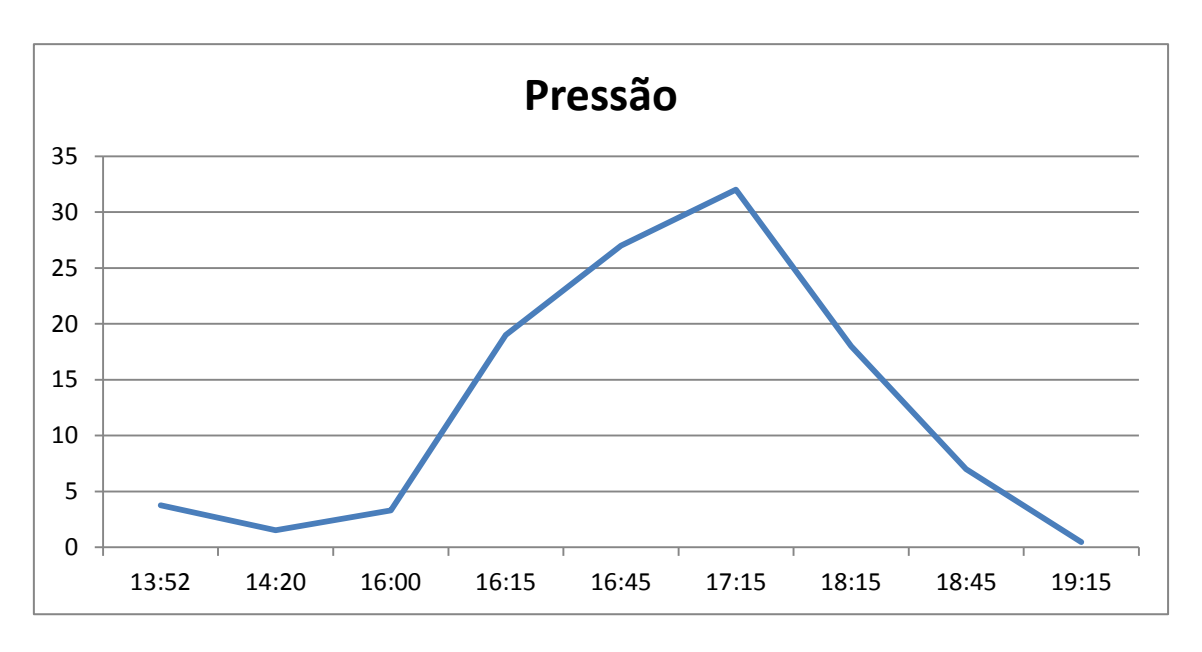


Figura 14 – Registo de pressões obtidas Câmara de Pirólise no processo de carbonização de vide.

O registo de pressões na câmara de pirólise foi iniciado, como todos os outros registos, às 13:52 horas. O primeiro registo indica uma pressão de 3.77 mbar. O pico de pressão atingida foi de 32 mbar às 17:15 horas.

As análises efectuadas ao carvão produzido indicam um teor de carbono de 85%. Em relação às cinzas o teor é de 7.78% e de voláteis 7.14%. O teor de humidade é 6.10% (tabela 8).

Tabela 8 – Resultados da análise do carvão de vide.

| Amostra | Teor de Humidade (%) | Carbono (%) | Cinzas (%) | Voláteis (%) |
|---------|----------------------------|----------------|---------------|-----------------|
| Videira | 6.10 | 85 | 7.78 | 7.14 |

5.1.2 – Carbonização poda de Kiwi













A amostra considera de kiwi foi de 21.4 kg. O processo teve uma duração de 9 horas e 11 minutos e a produção de carvão foi de 2 kg, obtendo-se um rácio de conversão de 9% (figura 15).



Figura 15 – Imagem poda de kiwi carbonizada.

O início do processo foi às 09:00 horas tendo terminado às 16 horas. No gráfico que se segue pode observar-se as temperaturas registadas na câmara de combustão, exaustão, câmara de pirólise e gases de pirólise.

O primeiro registo de temperatura na câmara de combustão, realizado às 09:10 horas, indica uma temperatura de 342 °C. O registo indica um crescimento contínuo de temperatura até às 12:30 horas, onde se observa uma temperatura de 182 °C. Esta quebra de temperatura deve-se ao facto de a pressão (figura 18) ter atingido valores de segurança e por isso houve a necessidade de interromper o processo. O pico máximo













de temperatura na câmara de combustão foi de 812 °C registado às 14:02 horas.

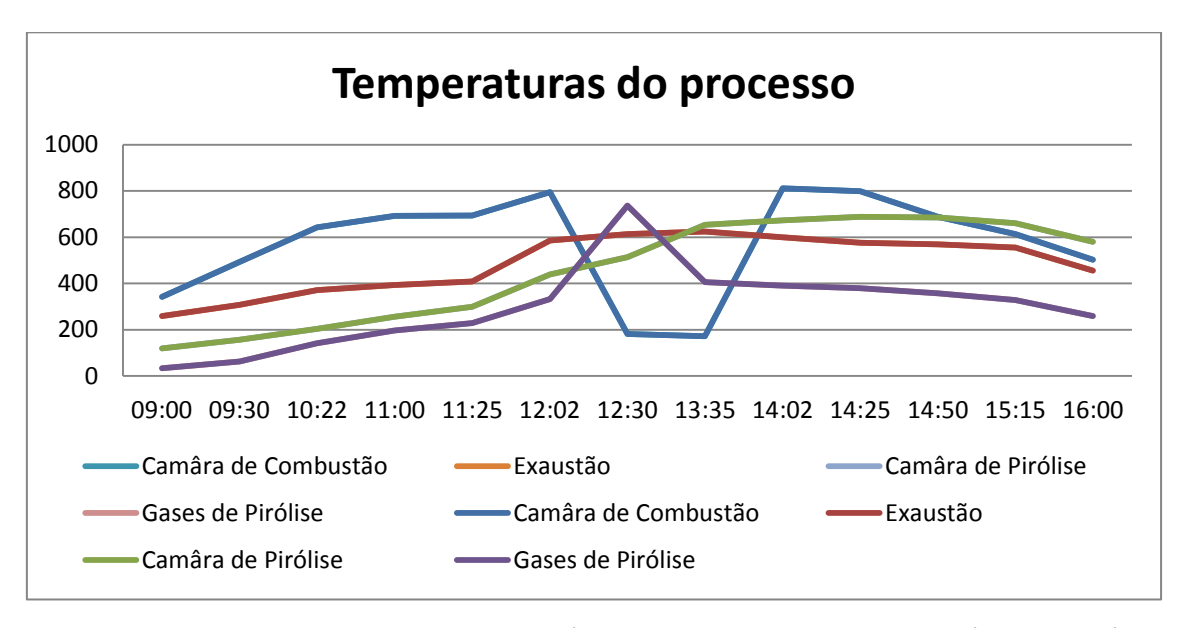


Figura 16 — Registo de temperaturas obtidas na Câmara de Combustão, na Exaustão, Câmara de Pirólise e Gases da Pirólise no processo de carbonização de poda de kiwi.

As temperaturas de exaustão atingiram o pico às 13:35 horas com uma temperatura de 624 °C. No fim do processo o valor de temperatura era de 456 °C.

Na câmara de pirólise o pico de temperatura foi de 685 °C, às 14:50 horas, coincidente com o pico de temperatura na câmara de combustão. Os gases de pirólise atingiram como valor máximo 406 °C, no momento em que ocorreu a quebra de temperatura na câmara de combustão.

A pressão na câmara de pirólise atingiu o pico de 34.45 mbar, obrigando, como já descrito anteriormente, à quebra de temperatura na câmara de combustão e reinício do processo. A pressão mínima foi de 0.8 mbar às 09:10 horas (inicio do processo). No fim do processo, às 16:00 horas, a pressão registada foi de 10 mbar.













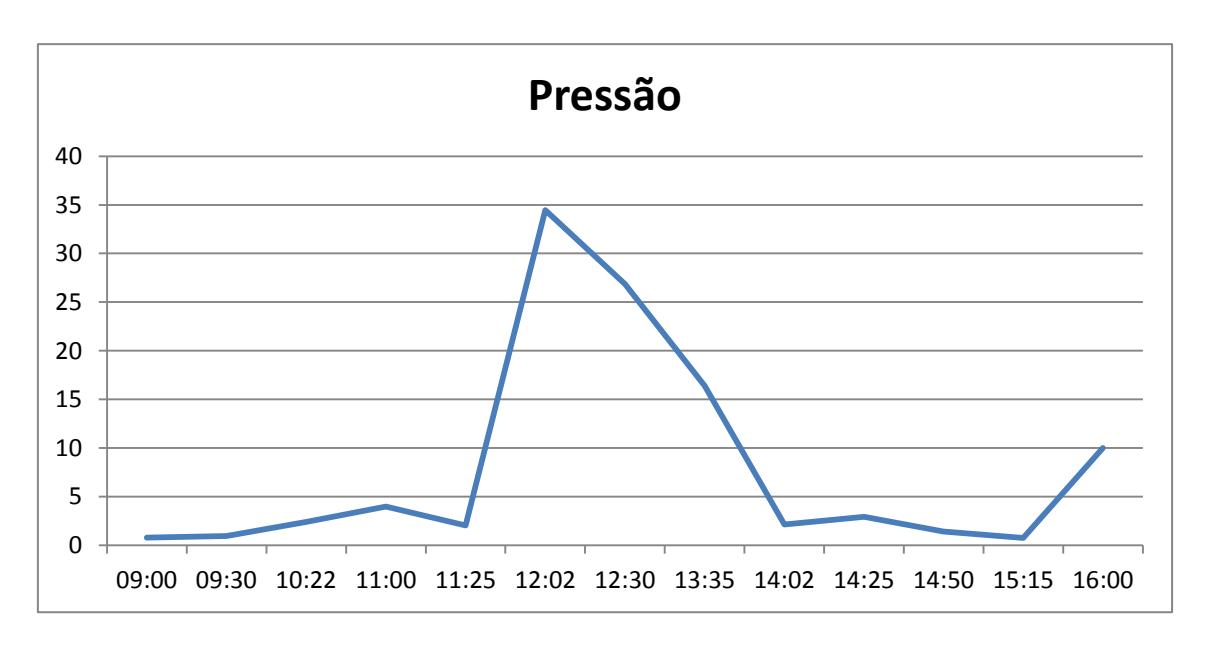


Figura 17 – Registo de pressões obtidas Câmara de Pirólise no processo de carbonização de poda de kiwi.

A análise do carvão produzido indicou um teor de humidade de 7.48%. O teor de carbono é de 86%, de cinzas é de 8.37% e de voláteis é de 6.09% (tabela 9)

Tabela 9 – Resultados da análise do carvão de poda de Kiwi.

| Amostra | Teor de Humidade (%) | Carbono (%) | Cinzas (%) | Voláteis (%) |
|-----------|----------------------------|----------------|---------------|-----------------|
| Poda Kiwi | 7.48 | 86 | 8.37 | 6.09 |

5.2 – Carbonização de Biomassa Florestal

5.2.1 – Carbonização de Sobro

A amostra de sobro considerada tinha um peso de 29.5 kg. O processo teve uma duração de 7 horas e 30 minutos. A produção de carvão foi de 7.25 kg, correspondendo a uma conversão de 24.5%.















Figura 18 – Imagem de sobra carbonizado.

O inicio do processo foi às 07:52 horas e o fim do mesmo às 14:54 horas. No gráfico que se segue pode observar-se o registo de temperaturas na câmara de combustão, exaustão, câmara de pirólise e gases de pirólise (figura 19).

O pico máximo de temperatura na câmara de combustão foi de 895 °C, registado às 11:50 horas. No fim do processo, registo efectuado às 14:54 horas, a temperatura registada foi de 599 °C.













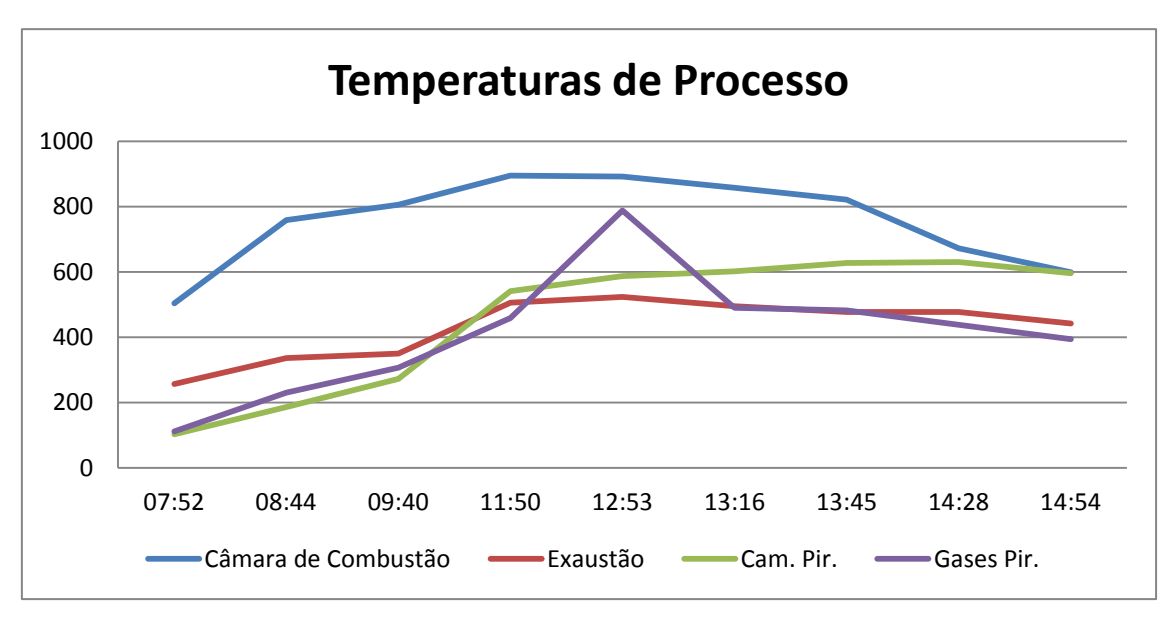


Figura 19 — Registo de temperaturas obtidas na Câmara de Combustão, na Exaustão, Câmara de Pirólise e Gases da Pirólise no processo de carbonização de sobro.

As temperaturas na exaustão atingem um máximo de 523 °C, às 12:53 horas. No início do processo a temperatura foi de 257 °C, e no fim do processo de 442 °C.

Na câmara de pirólise a temperatura máxima foi de 630 °C, registado às 14:28 horas, fim da fase II. A temperatura no fim do processo era de 596 °C e no início do processo de 103 °C. Os gases de pirólise atingiram o valor máximo de 490 °C às 13:16 horas (meio de fase II), e no fim do processo o valor era de 394 °C.

O pico de pressão na câmara de pirólise foi de 25.8 mbar registado às 11:50 horas. A pressão mínima registada foi de 0 mbar, no início de processo, e no fim do processo a pressão registada foi de 0.51 mbar (figura 20).













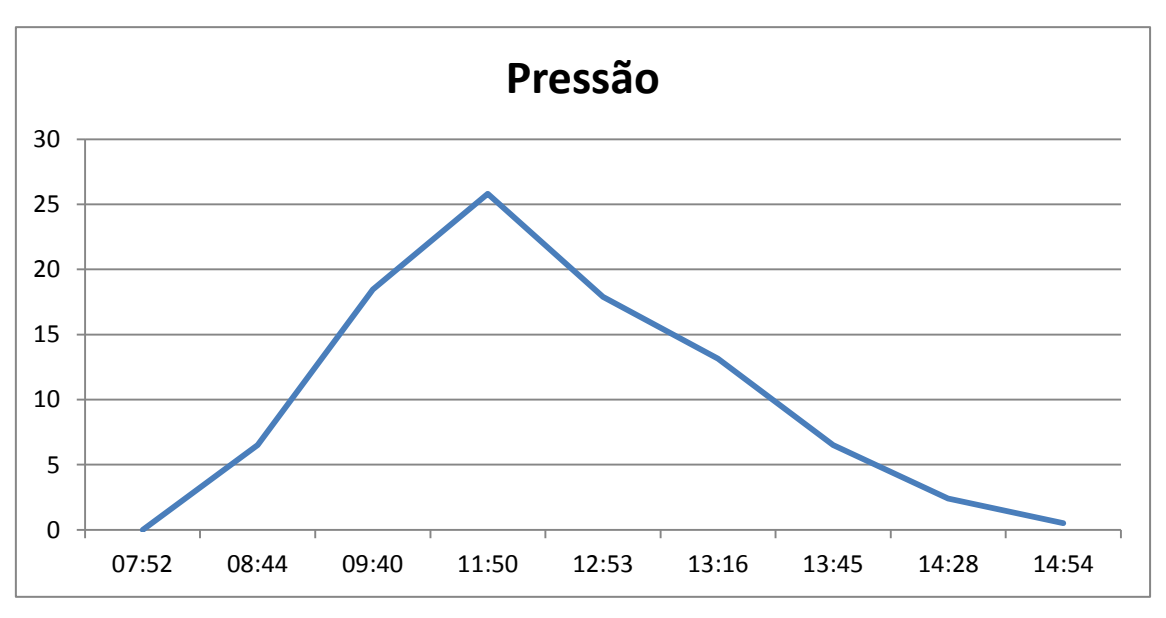


Figura 20 – Registo de pressões obtidas Câmara de Pirólise no processo de carbonização de sobro.

Nas análises efectuadas ao carvão de sobro produzido obteve-se como teor de humidade o valor de 3.85%. Ao nível de cinzas o resultado foi de 6.67%, de voláteis 7.63% e de carbono 86% (tabela 10).

Tabela 10 – Resultados da análise do carvão de sobro.

| Amostra | Teor de Humidade (%) | Carbono (%) | Cinzas (%) | Voláteis (%) |
|---------|----------------------------|----------------|---------------|-----------------|
| Sobro | 3.85 | 86 | 6.67 | 7.63 |

5.2.2 – Carbonização de Pinho

Para o ensaio de carbonização de pinho foi utilizada uma amostra com 31.4 kg. A massa de carvão produzida foi de 5 kg, correspondente a um factor de conversão de 16%. O processo teve uma duração de 10 horas e trinta minutos, com inicio às 04:40 horas e fim a 12:03 horas.















Figura 21 – Imagem de pinho carbonizado.

No gráfico que se segue (figura 22) pode observar-se os valores de temperatura registados durante o processo na câmara de combustão, exaustão, câmara de pirólise e gases de pirólise.

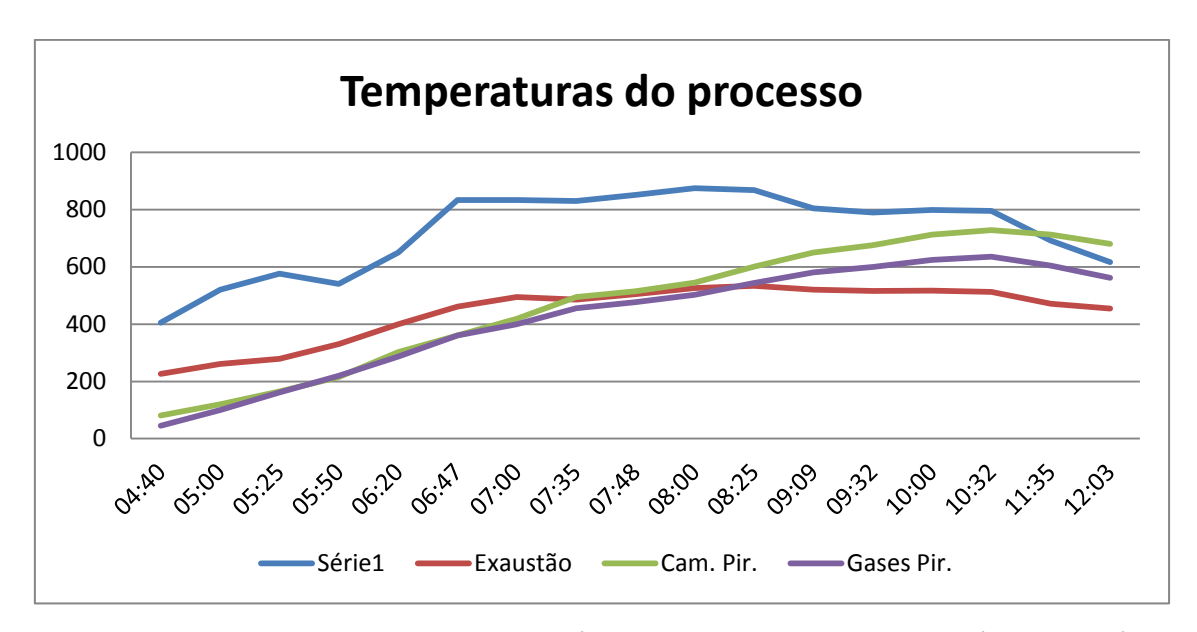


Figura 22 – Registo de temperaturas obtidas na Câmara de Combustão, na Exaustão, Câmara de Pirólise e Gases da Pirólise no processo de carbonização de pinho.

Na câmara de combustão a temperatura máxima registada foi de 874 °C às 08:00 horas (decorrer da fase II). No primeiro registo, efectuado às 04:40 horas a













temperatura era de 405 °C e no fim do processo, às 12:03 horas era de 616 °C.

Na exaustão a temperatura máxima registada foi de 534 °C e a mínima de 226 °C no início do processo. No término do processo a temperatura de exaustão era de 454 °C.

A câmara de pirólise atingiu a temperatura de 728 °C às 13:32 horas, correspondente ao fim da fase II. No fim do processo a temperatura era de 680 °C. Os gases de pirólise registavam na primeira leitura uma temperatura de 45 °C, sendo o máximo registado de 635 °C às 10:32 horas, mesma hora que o pico de temperatura registado na câmara de pirólise.



Figura 23 – Registo de pressões obtidas Câmara de Pirólise no processo de carbonização de pinho.

O processo registou várias oscilações em relação à pressão na câmara de pirólise. O primeiro pico, registado às 07:00 horas foi de 45 mbar. Após este pico notase uma quebra continua na pressão até aos 3.5 mbar no fim do processo.

As análises efectuadas ao carvão produzido demonstraram um teor de













humidade de 7.53%. As cinzas apresentam um teor de 1.28%, os voláteis de 4.70% e o carbono apresenta um teor de 94% (tabela 11).

Tabela 11 – Resultados da análise do carvão de pinho.

| Amostra | Teor de Humidade (%) | Carbono (%) | Cinzas (%) | Voláteis (%) |
|---------|----------------------------|----------------|---------------|-----------------|
| Pinho | 7.53 | 94 | 1.28 | 4.70 |

5.2.3 – Carbonização de Eucalipto

A amostra de eucalipto tinha um peso de 835 kg. A produção de carvão foi de 183 kg, registando um valor de conversão de 22%.

O processo de carbonização teve uma duração de 10 horas e 26 minutos tendo início às 21:26 horas e fim às 06:00 horas.

No gráfico que se segue tem descrito as temperaturas obtidas no decorrer do processo na câmara de combustão, exaustão, câmara de pirólise e gases de pirólise.













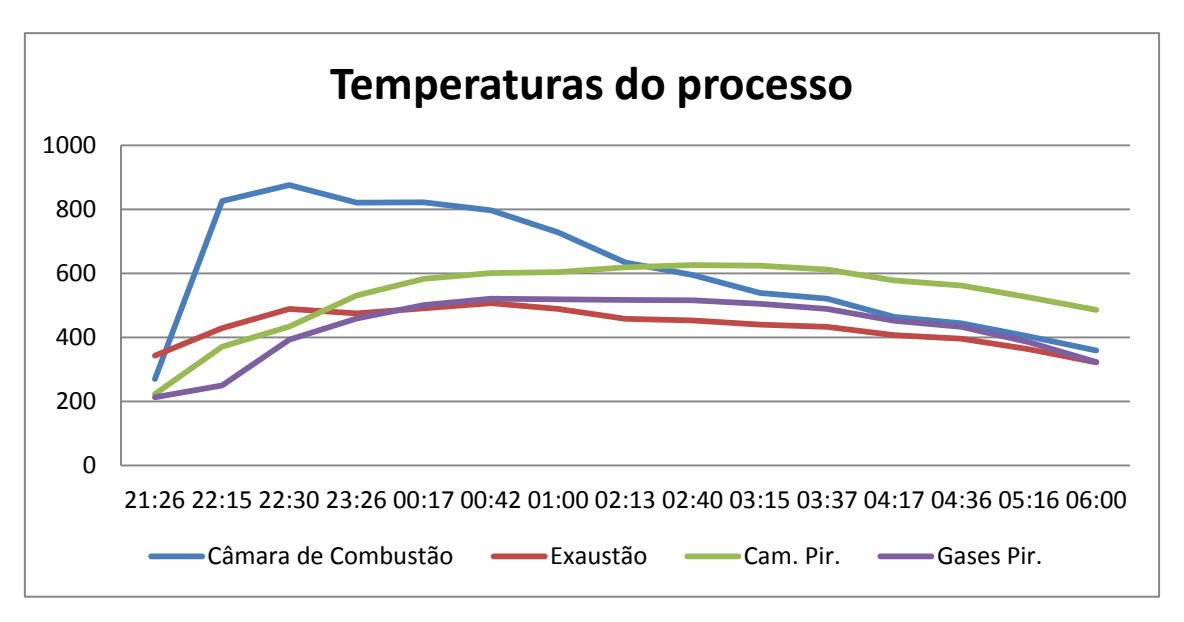


Figura 24 — Registo de temperaturas obtidas na Câmara de Combustão, na Exaustão, Câmara de Pirólise e Gases da Pirólise no processo de carbonização de eucalipto.

A temperatura máxima na câmara de combustão foi de 822 °C, registada às 00:17 horas, no decorrer da fase II. No fim do processo, às 06:00 horas, a temperatura era de 359 °C. A exaustão atinge a temperatura máxima às 01:00 horas com uma leitura de 489 °C.

Na câmara de pirólise a temperatura máxima atingida foi de 626 °C registada na leitura efectuada às 02:40 horas. No primeiro registo, 21:26 horas, a temperatura era de 223 °C e a temperatura de final de processo foi de 06:30 horas.

Os gases de pirólise apresentam uma temperatura máxima de 521 °C, com registo às 00:42 horas. No fim do processo a temperatura era de 323 °C.















Figura 25 – Registo de pressões obtidas Câmara de Pirólise no processo de carbonização de eucalipto.

A pressão máxima na câmara de pirólise foi de 40 mbar registada às 22:30 horas. Até às 00:17 horas a pressão baixou para 706 mbar, tendo-se mantido entre os 6 e os 10 mbar até ao fim do processo.

5.2.4 – Carbonização de Acácia

A amostra de acácia utilizada para o ensaio tinha uma massa de 836 kg. O processo de carbonização teve uma duração de três horas, com inicio às 12:43 horas e fim às 17:30 horas. A massa de carvão produzida foi de 170 kg, resultando num valor de conversão de 20%.













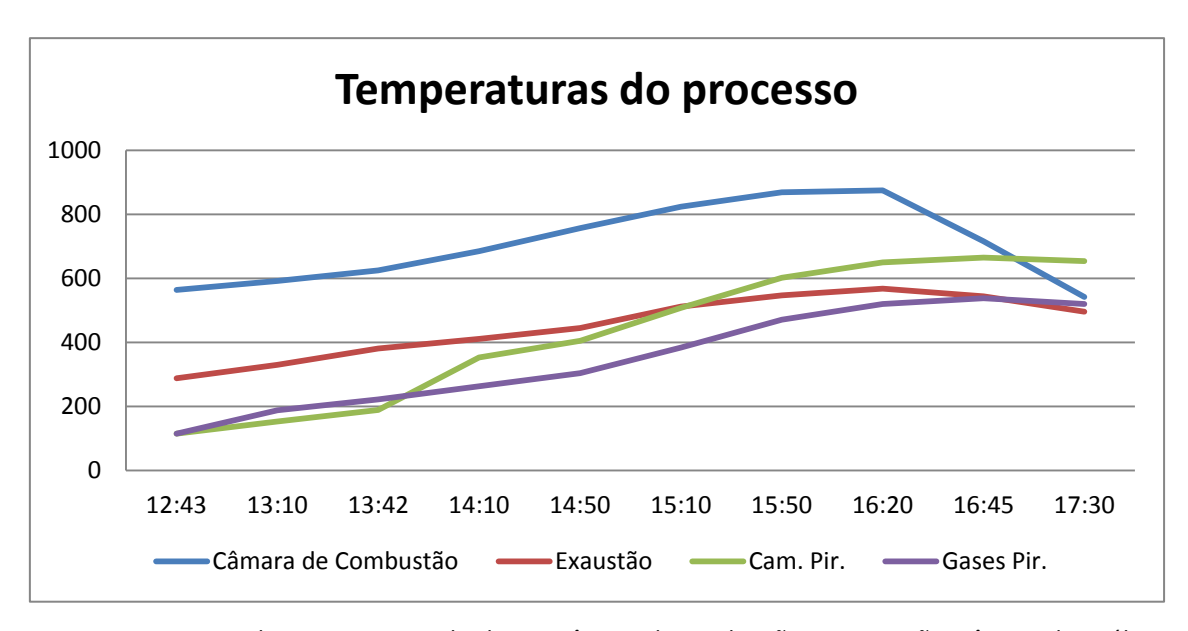


Figura 26 — Registo de temperaturas obtidas na Câmara de Combustão, na Exaustão, Câmara de Pirólise e Gases da Pirólise no processo de carbonização de acácia.

O pico de temperatura registado na câmara de combustão foi de 875 °C, registado às 16:20 horas. No primeiro registo, efectuado às 12:43 horas, a temperatura na câmara de combustão era de 564 °C. No fim do processo a temperatura era de 542 °C.

Na exaustão a temperatura no início do processo era de 288 °C, registando um aumento contínuo até às 16:20 horas, atingindo uma leitura de 568 °C. No fim do processo a temperatura era de 496 °C.

Na câmara de pirólise a temperatura máxima foi de 665 °C, registada às 16:45 horas, tendo posteriormente reduzido até aos 654 °C no fim do processo. Os gases de pirólise registam o pico de temperatura ao mesmo tempo que a câmara de pirólise, tendo sido a leitura de 538 °C.













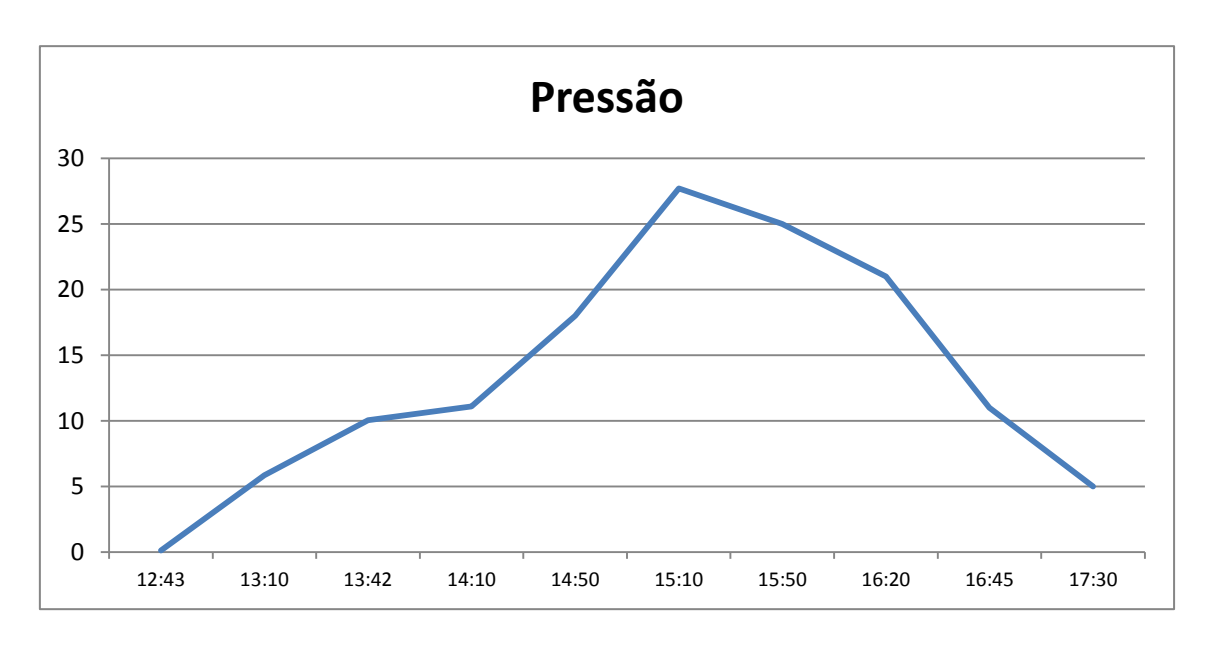


Figura 27 – Registo de pressões obtidas Câmara de Pirólise no processo de carbonização de acácia.

As pressões registadas na câmara de pirólise (figura 27) registam um aumento de pressão desde o inicio do processo, com uma leitura de 0.11 mbar, até às 15:10 horas atingindo a pressão de 27.70 mbar. Após esse registo a pressão tende a diminuir terminando o processo com uma leitura de 5 mbar.

Tabela 12 – Resultados da análise do carvão de acácia.

| Amostra | Teor de Humidade (%) | Carbono (%) | Cinzas (%) | Voláteis (%) | |
|---------|----------------------------|----------------|---------------|-----------------|--|
| Acácia | 1.75 | 98 | 0.8 | 1.28 | |

As análises realizadas na amostra revelam um teor de humidade de 1.75%. O teor de cinzas é de 0.8%, de voláteis apresenta um teor de 1.28% e o teor de carbono é de 98%.













5.2.4 – Carbonização de Azinho

Para os ensaios de carbonização de azinho foi utilizada uma amostra com 673 kg. O processo de carbonização demorou 08:30 horas. A massa de carvão produzida foi de 176 kg, correspondendo a uma conversão de 26% (figura 28)



Figura 28 – Imagem de azinho carbonizado.

Na figura 26 pode observar-se o registo de temperaturas do processo na câmara de combustão, exaustão, câmara de pirólise e gases de pirólise.

Na câmara de combustão a temperatura máxima foi de 860 °C, registada às 01:10 horas. No fim do processo a temperatura foi de 449 °C. A exaustão atinge o pico de 537 °C pelas 02:0 10 horas, e termina o processo com uma leitura de 376 °C.













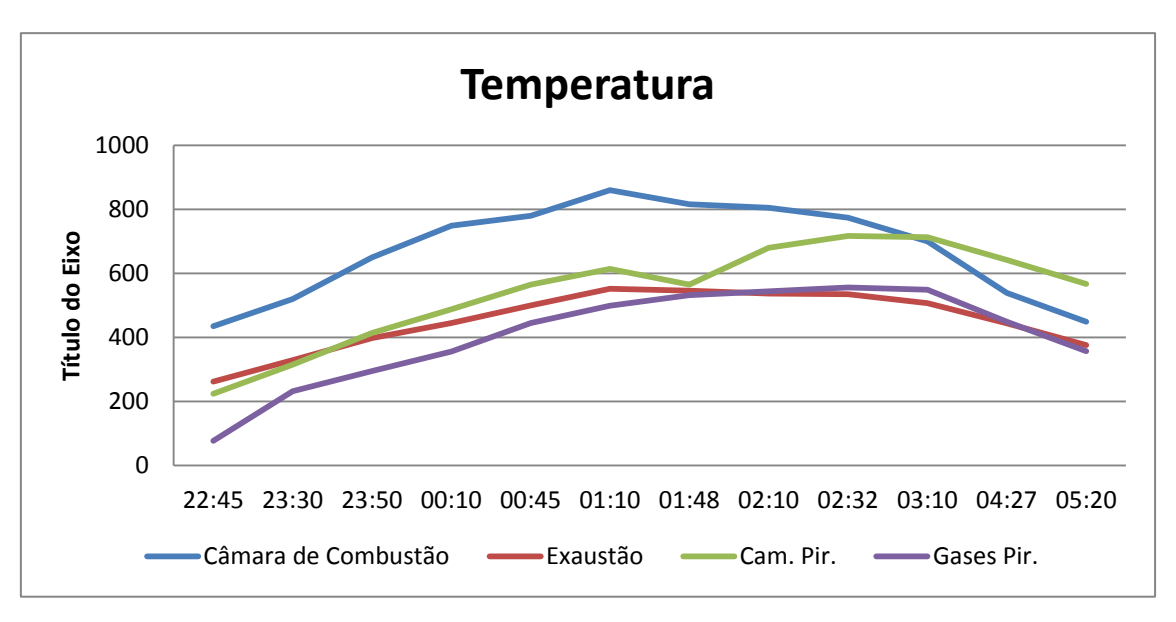


Figura 29 — Registo de temperaturas obtidas na Câmara de Combustão, na Exaustão, Câmara de Pirólise e Gases da Pirólise no processo de carbonização de azinho.

A câmara de pirólise registou uma temperatura máxima de 717 °C no registo efectuado às 02:32 horas. A leitura de fim de processo indica um valor de 567 °C. Os gases de pirólise atingem o pico de temperatura na mesma hora que a câmara de pirólise e têm uma leitura de 556 °C. A leitura de início de processo indica 77 °C, e a de fim do processo de 357 °C.



Figura 30 – Registo de pressões obtidas Câmara de Pirólise no processo de carbonização de azinho.

A leitura de pressões na câmara de pirólise indica uma subida constante da













pressão. A primeira leitura indica uma pressão de 0.17 mbar, atingindo o pico às 01:10 horas com uma pressão de 42.85 mbar. No fim do processo a pressão registada foi de 0.23 mbar.

Tabela 13 – Resultados da análise do carvão de azinho

| Amostra | Teor de Amostra Humidade (%) | | Cinzas (%) | Voláteis (%) |
|---------|------------------------------------|----|---------------|-----------------|
| Azinho | 4.11 | 84 | 6.22 | 10.07 |

Das análises efectuadas no carvão de azinho produzido obteve-se um teor de humidade de 4.11%. O teor de cinzas é de 6.22% e o de voláteis de 10.07%. O resultado para o teor de carbono é de 84%.













CONCLUSÃO

Os ensaios realizados permitiram a caracterização ao nível do teor de humidade, de carbono, cinzas e voláteis, do carvão produzido usando como matéria o resultante da poda de videira, de Kiwi, sobro, pinho, acácia e azinho.

Os resultados resumidos encontram-se apresentados na tabela 14.

Tabela 14 – Resumo valores obtidos nas várias análises para as várias amostras.

| Amostra | Teor de Humidade (%) | Carbono (%) | Cinzas (%) | Voláteis (%) | PCI (kcal/kg) | PCS (kcal/kg) |
|-----------|----------------------------|----------------|---------------|-----------------|------------------|------------------|
| Videira | 6.10 | 85 | 7.78 | 7.14 | 6 848 | 6 885 |
| Poda Kiwi | 7.48 | 86 | 8.37 | 6.09 | 6 921 | 6 966 |
| Sobro | 3.85 | 86 | 6.67 | 7.63 | 6 943 | 6 966 |
| Pinho | 7.53 | 94 | 1.28 | 4.70 | 7 569 | 7 614 |
| Acácia | 1.75 | 98 | 0.8 | 1.28 | 7 928 | 7 938 |
| Azinho | 4.11 | 84 | 6.22 | 10.07 | 6 779 | 6 804 |

Numa primeira análise podemos realçar que os resultados obtidos para o carvão de vide e de poda de kiwi, ambos resíduos agrícolas, apresentam valores próximos. O teor de humidade em ambos apresenta uma diferença de apenas 1.38%. Ao nível do carbono a diferença é de apenas um ponto percentual, e o mesmo se passa com o teor de cinzas e de voláteis.

Nas restantes amostras, biomassa florestal, podemos observar uma coerência nos valores obtidos, para o teor de humidade, com excepção da amostra de pinho.

Para a acácia, o sobro e o azinho o teor de humidade é inferior a 5%, no entanto para o pinho toma valores de 7%.

Ao nível do teor de carbono o melhor resultado é o de carvão de acácia, com













um teor de 98%, seguido, com uma pequena diferença, pela amostra de pinho com um valor de 94%. Quer na amostra de carvão de azinho quer de sobro o teor de carbono é inferior a 90%, registando respectivamente 84 e 86%.

No teor de cinzas as amostras de carvão de azinho e sobro apresentam também os piores resultados, com 6.67 e 6.22% respectivamente, sendo que a amostra com melhor resultado é a Acácia com 0.8%. O carvão de pinho apresenta 1.28% de cinzas.

Ao nível dos voláteis o pior resultado é o de carvão de azinho com 10.07%, seguindo pelo sobro com 7.63%.

O carvão de acácia e de pinho apresentam valores positivos de 1.28 e 4.7%.

O poder calorifico pode ser calculado, numa base teórica, através da análise elementar do composto. Para combustíveis sólidos a fórmula aplicada é [9]:

$$PCS = 8100 * C + 34400 \left(1 * \frac{0}{8}\right) + 2500 * S$$

$$PCI = 8100 * C + 34400 \left(1 * \frac{O}{8}\right) + 2500 * S - 600W$$

Onde:

$$C = Teor \ de \ Carbono \ \left(\frac{kg \ C}{kg \ combustivel}\right)$$

$$O = Teor \ de \ Carbono \ \left(\frac{kg \ O}{kg \ combustivel}\right)$$

$$S = Teor \ de \ Carbono \ \left(\frac{kg \ S}{kg \ combustivel}\right)$$













W = 9H + humidade

Conhecendo apenas o teor de carbono e humidade das amostras produzidas, foi assim calculado o PCS e PCI para cada uma das amostras (tabela 14). Como se pode observar a amostra com maior teor de carbono, carvão de acácia, é também a que apresenta um maior poder calorifico inferior e superior.

Da análise geral pode concluir-se que o carvão de acácia é que apresenta melhores resultados, em todos os níveis.













BIBLIOGRAFIA

- [1] DGEG; ENERGIA EM PORTUGAL Principais Números; 2014
- [2] Gavrilescu M., Chisti Y., (2005), Biotechnology- a sustainable alternative for chemical industry, Biotechnology Advances, 23, 471-499
- [3] McKendry P., (2001), Energy production from biomass (part 1): overview of biomass, Bioresource Technology, 83, 37–46
- [4] Demirbas A., (2000c), Biomass resources for energy and chemical industry, Energy Edu Sci Technol, 5, 21-45.
- [5] INETI Avaliação do potencial de biomassa da região do Algarve.
 Relatório final. Maio 2006.
- [6] INE (2009). Recenseamento Geral da Agricultura, 2008. Portugal.Principais Resultados. Instituto Nacional de Estatística, Lisboa
- [7] Inventário Florestal Nacional, 2006.
- [8] Mateus T.; 2006; O potencial energético da floresta portuguesa: analise do potencial energético disponível para as centrais termoeléctricas a biomassa florestal lançadas a concurso; FEUP Faculdade de Engenharia da Universidade do Porto.
- [9] D. M. Mason and K. Gandhi; FORMULAS FOR CALCULATING THE HEATING VALUE OF COAL AND COAL CHAR: DEVELOPMENT, TESTS AND USES; Institute of Gas Technology; 3424 S. State St.Chicago, Illinois 60616